

УДК 669.175.2:539.26

ИССЛЕДОВАНИЕ ДЕФЕКТНОЙ СТРУКТУРЫ НАНОКРИСТАЛЛИЧЕСКИХ МАТЕРИАЛОВ

И. В. АЛЕКСАНДРОВ

Институт физики перспективных материалов УГАТУ
Тел: (3472) 23 34 22 E-mail: iva@mail.ru

Представлены результаты исследования структуры металлов, подвергнутых интенсивной пластической деформации (ИПД). Особое внимание уделено рентгеновским исследованиям эволюции микроструктуры в чистой Си в процессе получения массивныхnanoструктурных образцов ИПД методами кручения под высоким давлением и равноканального углового прессования. Для анализа полученных экспериментальных результатов применено компьютерное моделирование

Интенсивная пластическая деформация; объемные nanoструктурные материалы; рентгеноструктурный анализ

ВВЕДЕНИЕ

Методы интенсивной пластической деформации (ИПД), под которой понимают большие пластические деформации, осуществленные в условиях высоких приложенных давлений, являются одними из перспективных методов получения nanoструктур, для которых характерно проявление привлекательных физических и механических свойств [1]. Важным достоинством методов ИПД по сравнению с другими методами является возможность получения массивных бесспористых заготовок, пригодных для тщательной структурной аттестации, исследования различных физических и механических свойств, а также имеющих широкие перспективы практического использования. Однако для установления причин проявления и управления процессом формирования новых свойств необходимо исследовать закономерности, установить соответствующие механизмы и разработать модельные представления об эволюции микроструктуры в ходе ИПД на основе детальной структурной аттестации исследуемых материалов.

К настоящему времени имеется обширный материал, касающийся эволюции микроструктуры в ходе больших деформаций с истинными степенями деформации $e = 2 \div 5$, достигаемыми прокаткой, экструзией, кручением [2–8]. При этом обнаружено, что при увеличении степени деформации наблюдается фрагментация структуры, растет угол разориентировки между фрагментами, плотность дислокаций в теле фрагментов уменьшается [2, 3]. Развиты соответствующие теории и модели [4–8].

В то же время данный вопрос значительно менее исследован в случае интенсивных деформаций, в ходе которых приложенное высокое давление препятствует разрушению и оказывает воздействие на эволюцию микроструктуры образцов, а также способствует достижению больших ($e \geq$

10) степеней деформации до разрушения. Надежно установлено, что ИПД может привести к формированию nanoструктур [9–18], и этот процесс связан с ростом углов разориентировок зерен по мере увеличения степени деформации. При этом приложенные высокие давления и низкие температуры деформации препятствуют протеканию возврата и рекристаллизации в ходе ИПД [10]. Вместе с тем для выявления механизмов формирования nanoструктур требуются всесторонние структурные исследования, где наряду с просвечивающей электронной микроскопией (ПЭМ) может быть успешно использован метод рентгеноструктурного анализа (РСА).

Показано, что метод РСА занимает особое место и является чрезвычайно информативным при исследовании структуры наноматериалов [13]. Этот метод позволяет получать статистически усредненную информацию о размере областей когерентного рассеяния (ОКР), который может соответствовать размеру зерен в наноматериалах, упругих микрискажениях, параметре решетки, статических и динамических атомных смещениях, преимущественной ориентации зерен и т. д. [14–18].

Целями исследований, результаты которых представлены в настоящей статье, явились установление закономерностей и развитие модельных представлений о формировании в ходе ИПД, реализованной с использованием основных схем, на основе данных различных исследований, выполненных в чистой Си (99,98 %).

1. МЕТОДИКА ЭКСПЕРИМЕНТА

Исследуемые образцы подвергали ИПД с использованием основных схем: кручения под высоким приложенным давлением и равноканального углового (РКУ) прессования с различной степенью деформации [1] (рис. 1).

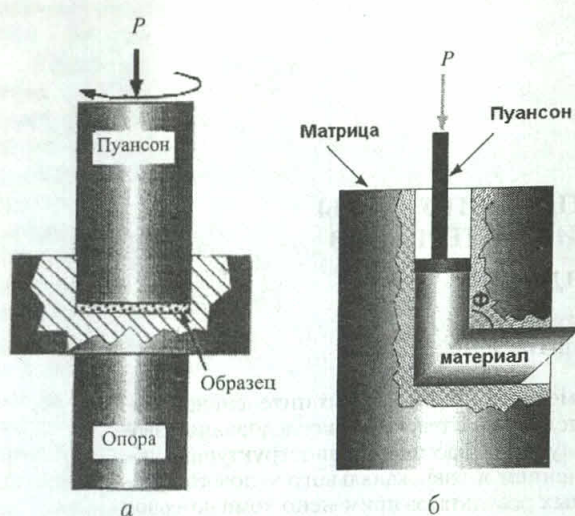


Рис. 1. Схемы ИПД: кручение под высоким давлением (а) и РКУ-прессование (б)

При ИПД кручением образец в форме диска помещался между бойками, сжимался приложенным давлением $P = 5$ ГПа, а затем подвергался сдвиговой деформации в результате поворота нижнего бойка при неподвижном верхнем бойке. Максимальное число поворотов равнялось 6. Полученные образцы имели форму дисков диаметром 10 мм и толщиной 0,3÷1 мм.

В процессе РКУ прессования исходные заготовки неоднократно продавливались в специальной оснастке через два пересекающихся под углом 90° канала с одинаковыми поперечными сечениями. Заготовки имели длину 80÷100 мм и диаметр 20 мм. Максимальное число проходов равнялось 10.

Рентгеноструктурные исследования проводили в температурном интервале 85÷295 К с использованием дифрактометров РИГАКУ Д/MAX 2400 и ДРОН-4-07 и Cu $K\alpha$ излучения.

2. ЭКСПЕРИМЕНТАЛЬНЫЕ РЕЗУЛЬТАТЫ

2.1. ИПД кручением

В ходе проведенных исследований было обнаружено, что общий вид рентгенограмм образ-

цов, подвергнутых ИПД кручением, существенно изменяется по сравнению с крупнокристаллическим (КК) состоянием уже после 2-х оборотов, однако в дальнейшем при увеличении числа оборотов остается практически неизменным. При этом обращает на себя внимание существенное перераспределение интенсивности в пользу рентгеновского пика (111) за счет других пиков. По сравнению с рентгенограммой КК Cu для полученных рентгенограмм Cu, подвергнутой ИПД, характерны уширенные рентгеновские пики с измененными интенсивностями, значительным уширением, смещенными центроидами и длинными хвостами, а также несколько повышенный диффузный фон рассеяния рентгеновских лучей (рис. 2) [14, 16].

Проведенные расчеты показали, что усредненная доля лоренцевой компоненты в функции Фойгта, описывающей профиль рентгеновских пиков и являющейся линейной комбинацией стандартных функций Лоренца (длинные хвосты) и Гаусса (короткие хвосты), постепенно возрастает от 46 % в КК состоянии практически до 100 % по мере увеличения числа оборотов при кручении под высоким давлением [16].

Обнаруженное уширение рентгеновских пиков связано с уменьшением среднего размера ОКР вплоть до размеров менее 50 нм и увеличением усредненных упругих микрискажений кристаллической решетки вплоть до 0,12 %. При этом сам размер и характер эволюции микроструктуры определяются принадлежностью зерен определенной кристаллографической компоненте. Такая же ситуация характерна для упругих микрискажений кристаллической решетки. Так, уровень микрискажений в направлении $<200>$ более чем в два раза выше, чем в направлении $<111>$ [14].

Усредненная плотность дислокаций растет по мере увеличения числа оборотов при ИПД кручением и достигает $(2,0 \pm 0,1) \times 10^{14} \text{ м}^{-2}$ при 6 оборотах [16].

Параметр и объем элементарной ячейки кристаллической решетки в образцах Cu, подвергнутых кручению под высоким давлением, оказались меньше, чем в КК Cu. При этом величина отклонения параметра решетки растет по мере увеличения числа оборотов, достигая $(0,019 \pm 0,004) \%$ при 6 оборотах [14].

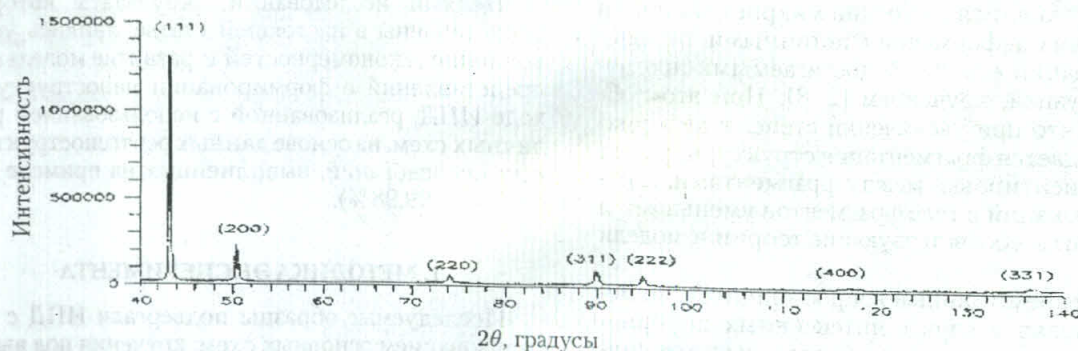


Рис. 2. Типичная рентгенограмма Cu, подвергнутой кручению под высоким давлением ($e \approx 10$)

Параметр Дебая–Уоллера и величина атомных смещений из узлов кристаллической решетки растут с увеличением числа оборотов (рис. 3). При этом после 6 оборотов атомные смещения достигают $(4,3 \pm 0,2)\%$ от кратчайшего расстояния между атомами при значении $(3,7 \pm 0,2)\%$, характерном для КК Cu [16].

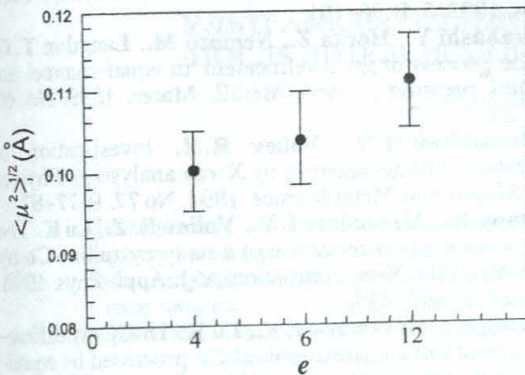


Рис. 3. Зависимость среднеквадратичных атомных смещений $\langle \mu^2 \rangle^{1/2}$ от степени деформации

Интегральная интенсивность фона на рентгенограмме в результате ИПД возрастает на $(6 \pm 3)\%$, что указывает на увеличение концентрации дефектов кристаллического строения в наноструктурной Cu, полученной ИПД [14].

В процессе ИПД кручением в Cu формируется слабая аксиальная текстура. Обратная полюсная фигура (ПФ) нормали к исследуемому образцу, совпадающей с направлением приложенного давления, характеризуется повышенной интенсивностью ориентировок, расположенных между полюсом (111) и полюсом (110) с максимумом вблизи полюса (111) [18].

2.2. РКУ прессование

Процесс формирования наноструктуры в ходе РКУ прессования менее исследован методом РСА, чем в ходе кручения под высоким давлением. Тем не менее, проведенные исследования показали, что рентгенограммы Cu, полученной РКУ прессованием с различным числом проходов (от 1 до 10), существенно отличаются друг от друга относительной интенсивностью рентгеновских пиков.

Уже после 1-го прохода в Cu формируется структура, характеризующаяся средним размером ОКР менее 60 нм и усредненными упругими микрискажениями вплоть до 0,19 %. При увеличении числа проходов в ходе РКУ прессования происходит немонотонное изменение размера ОКР и упругих микрискажений. Очевидно, это связано со сложным характером напряженного состояния, изменением ориентации заготовок между очередными проходами через каналы в ходе РКУ прессования.

На неполной ПФ Cu после 10 проходов обнаружено три интенсивных несимметричных текстурных максимума. Обратная ПФ свидетельствует о совпадении нормалей к плоскости (331) с осью деформации. Данный факт согласуется с наблюдением сильного пика (331), обнаруженного на соответствующей рентгенограмме [18].

ЗАКЛЮЧЕНИЕ

Представленные выше результаты РСА исследований свидетельствуют о том, что при ИПД чистой Cu протекают сложные структурные превращения, общими чертами которых являются существенное уменьшение размеров ОКР, рост упругих микрискажений кристаллической решетки, уменьшение параметра решетки, увеличение параметра Дебая–Уоллера и атомных смещений из узлов равновесной идеальной кристаллической решетки, увеличение интегральной интенсивности диффузного фона рассеяния рентгеновских лучей, развитие кристаллографической текстуры. При этом размер ОКР и величины упругих микрискажений решетки в зернах, принадлежащих различным текстурным компонентам, различны.

Полученные результаты РСА, касающиеся уменьшения размеров структурных единиц и увеличения упругих микрискажений, находятся в соответствии с результатами ПЭМ [9]. С другой стороны, результаты РСА существенно (как качественно, так и количественно) дополняют результаты исследований, проведенных другими методами. Это касается, например, обнаруженных уменьшения параметра решетки, увеличения атомных смещений, развития кристаллографической текстуры и т. д.

Данные РСА исследований развивают структурную модель ИПД наноструктурного состояния, в согласии с которой наноструктуры характеризуются не только очень мелкими зернами, но и высокими полями упругих дальнодействующих напряжений, создаваемых внесенными зернографическими дислокациями высокой плотности [19].

Использование РСА позволило количественно установить величины атомных смещений, вызванных этими полями напряжений, и оценить усредненную величину упругих напряжений, чего не было сделано ранее. Эти атомные смещения очень существенны и намного превышают соответствующие значения в КК Cu. При этом возрастают не только статические, что говорит о сильно искаженной дефектной структуре, но и динамические атомные смещения, что свидетельствует в пользу изменения тепловых характеристик и фонового спектра в результате ИПД. Анализ экспериментальных данных РСА с помощью компьютерного моделирования рентгенограмм наноструктурных материалов с учетом различных конфигураций внесенных зернографических дислокаций позволил оценить их плотность, которая может достигать 10^9 м^{-1} [20, 21].

Полученные результаты РСА не противоречат и дополняют развитую в [10] схему эволюции микроструктуры в ходе ИПД. Так, с помощью РСА показано, что в ходе ИПД кручением быстро наступает стадия насыщения, вблизи которой структурные параметры изменяются медленно и плав-

но или остаются практически неизменными. Не изменяется и преобладающая ориентация зерен в пространстве. В процессе РКУ прессования имеют место немонотонные изменения размеров ОКР и упругих микротекстур, а также происходят значительные изменения кристаллографической текстуры после каждого прохода, о чем свидетельствуют резкие изменения интенсивности рентгеновских пиков. Указанные отличия связаны с изменением ориентации заготовки при повторных проходах, что обеспечивает работу иных систем скольжения [22] и приводит к обнаруженным изменениям в характере кристаллографической текстуры в ходе РКУ прессования.

В заключение отметим особое место, которое должны занять исследования формирования кристаллографической текстуры в ИПД металлах. Во-первых, такие исследования помогут глубже понять роль границ зерен в ходе эволюции микроструктуры, установить механизмы ИПД, предсказать спектр зернограницевых разориентировок, высказать предположения о возможной анизотропии структурно чувствительных свойств.

ВЫВОДЫ

Проведенные рентгеноструктурные исследования позволили получить новую информацию о характере эволюции микроструктуры в чистой Cu в ходе ИПД, осуществленной различными методами.

СПИСОК ЛИТЕРАТУРЫ

1. Ultrafine-grained materials produced by severe plastic deformation / R. Z. Valiev ed. Annales de Chimie. Science des Materiaux. 1996. V. 21. P. 369–520.
2. Bykov V. M., Lihachev V. A., Nikonorov Yu. A. et al. Fragmentation and dynamic recrystallization in copper at large and very large plastic deformations // Physics of Metals and Metal Science. 1978. No 45. P. 163–169.
3. Gindin I. A., Starodubov Ya. D., Aksenov V. K. Structure and strength properties of metals with extremely distorted crystal lattice // Metalphysics. 1980. No 2. P. 49–67.
4. Рыбин В. В. Большие пластические деформации и разрушение металлов. М.: Металлургия, 1986. 223 с.
5. Zehetbauer M., Seumer V. Cold work hardening in stages IV and V of F.C.C. metals – I. Experiments and interpretation // Acta Metall. Mater. 1993. No 41. P. 577–588.
6. Zehetbauer M. Cold work hardening in stages IV and V of F.C.C. metals – II. Models fits and physical results // Acta Metall. Mater. 1993. No 41. P. 589–599.
7. Ungar T., Zehetbauer M. Stage IV work hardening in cell forming materials. Part II: A new mechanism // Acta Metall. Mater. 1996. No 35. P. 1467–1473.
8. Estrin Y., Toth L. S., Molinari A., Brechet Y. A dislocation-based model for all hardening stages in large strain deformation // Acta Mater. 1998. No 46. P. 5509–5522.
9. Smirnova N. A., Levit V. I., Pilyugin V. I. et al. Structural evolution of F.C.C. single crystals at large plastic deformations // Physics of Metals and Metal Science. 1986. № 61. P. 1170–1177.
10. Valiev R. Z., Ivanisenko Yu. V., Rauch E. F., Baudelet B. Structure and deformation behaviour of ARMCO iron subjected to severe plastic deformation // Acta Mater. 1996. No 44. P. 4705–4712.
11. Akhmadeev N. A., Valiev R. Z., Kopylov V. I., Mulyukov R. R. Development of subgranular structure in copper and nickel at intense shear deformation // Metals. 1992. 5. P. 96–101.
12. Iwashashi Y., Horita Z., Nemoto M., Langdon T. G. The process of grain refinement in equal-channel angular pressing // Acta Metall. Mater. 1998. No 46. P. 3317–3331.
13. Alexandrov I. V., Valiev R. Z. Investigation of nanocrystalline materials by X-ray analysis // Physics of Metals and Metal Science. 1994. No 77. P. 77–87.
14. Zhang K., Alexandrov I. V., Valiev R. Z., Lu K. The structural characterization of a nanocrystalline Cu by means of the X-ray diffraction // J. Appl. Phys. 1996. No 21. P. 407–416.
15. Zhang K., Alexandrov I. V., Lu K. The X-ray diffraction study of a nanostructured Cu processed by equal-channel angular pressing // NanoStructured Materials. 1997. No 9. P. 347–350.
16. Zhang K., Alexandrov I. V., Kilmametov A. R. et al. The crystallite-size dependence of structural parameters in pure ultrafine-grained copper // J. Phys. D: Appl. Phys. 1997. No 30. P. 3008–3015.
17. Zhang K., Alexandrov I. V., Valiev R. Z., Lu K. The thermal behavior of atoms in ultrafine-grained Ni processed by severe plastic deformation // J. Appl. Phys. 1998. No 84. P. 1924–1927.
18. Alexandrov I. V., Wang Y. D., Zhang K. et al. X-ray analysis of the textured nanocrystalline materials // Proc. of the 11th Int. Conf. on Textures in Materials (ICOTOM-11). China, 1996. P. 929–940.
19. Valiev R. Z. Approach to nanostructured solids through the studies of submicron grained polycrystals // NanoStructured Materials. 1995. No 6. P. 73–82.
20. Alexandrov I. V., Valiev R. Z. Computer simulation of X-ray diffraction patterns of nanocrystalline materials // Philos. Magaz. 1996. No B 73. P. 861–872.
21. Alexandrov I. V., Enikeev N. A., Valiev R. Z. Investigation of assemblies of grain boundary dislocations in nanostructured copper by computer simulation // Mater. Sci. Forum No 294–296. 1999. P. 207–210.
22. Gibbs M. A., Hartwig K. T., Cornell L. R. et al. Texture formation in bulk iron processed by simple shear // Scr. Mater. 1998. No 39. 1699–1704.

ОБ АВТОРЕ



Александров Игорь Васильевич, вед. науч. сотр. ИФПМ, профессор кафедры безопасности жизнедеятельности и промышленной экологии УГАТУ. Дипл. физик (БГУ, 1976). Д-р физ.-мат. наук по физике твердого тела (заш. в Ин-те физики металлов УрНЦ РАН, 1997). Исследования в области физики прочности и пластичности материалов.